



INTERNATIONAL ATOMIC ENERGY AGENCY
UNITED NATIONS EDUCATIONAL, SCIENTIFIC AND CULTURAL ORGANIZATION



INTERNATIONAL CENTRE FOR THEORETICAL PHYSICS
34100 TRIESTE (ITALY) - P.O. B. 586 - MIRAMARE - STRADA COSTIERA 11 - TELEPHONES: 234281/2 3456
CABLE: CENTATOM - TELEX 460392-1

SMR/112 - 16

IV^o SEMINAIRE SUR L'ENERGIE SOLAIRE

(10 - 21 septembre 1984)

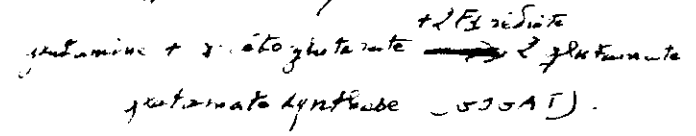
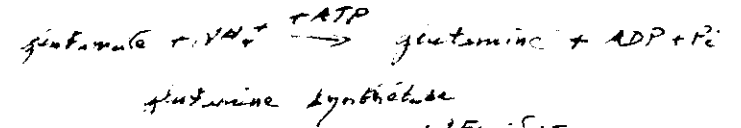
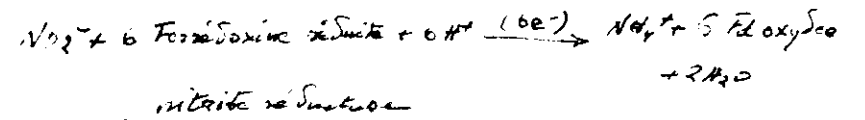
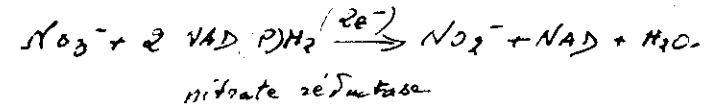
L'ENERGIE SOLAIRE ET L'ASSIMILATION DE L'AZOTE
PAR LES VEGETAUX

A. MOYSE
Université de Paris-Sud
Centre d'Orsay
Physiologie Cellulaire Végétale
Bâtiment 430
91405 Orsay Cedex
France

(15ex → A. MOYSE) ①
Energie solaire et l'assimilation de l'azote
par les végétaux.

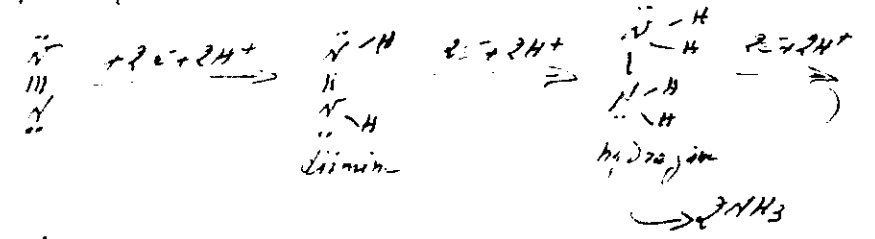
A. MOYSE

(N₃⁻)



(N₂)

Bactéries libres
ou symbiotiques



Hydrogénase

18

3

Inorganic Plant Nutrition - Encyclopedia of Plant Physiology
 242 New Series Vol 15A. A. LAUCHLI & R. L. BIRLESKI ed. Springer
 Verlag 1983

Table 1. List of selected genera of nitrogen-fixing organisms

Genus or type	Species
A. Free-living nitrogen-fixers	
1 Obligate aerobes	
<i>Azotobacter</i>	<i>vinlandii, chroococcum, paspali, heterotrickii</i>
<i>Beijerinckia</i>	<i>indica</i>
<i>Diazia</i>	<i>gummosa</i>
<i>Azotomonas</i>	<i>agilis</i>
2 Obligate aerobes that fix nitrogen only at low oxygen tensions	
<i>Azospirillum</i>	<i>brasilense, lipoferum</i>
<i>Xanthobacter</i>	<i>autotrophicus, flavus</i>
<i>Thiobacillus</i>	<i>ferro-oxidans</i>
<i>Rhizobium</i>	<i>cowpea group</i>
<i>Methylosinus</i>	<i>sporium</i>
<i>Methylobacterium</i>	<i>capsulatus</i>
3. Facultative anaerobic bacteria that fix nitrogen only under anaerobic conditions	
<i>Klebsiella</i>	<i>pneumoniae</i>
<i>Bacillus</i>	<i>polymyxa, mucerosus</i>
<i>Propionibacterium</i>	<i>shermanii, petersonii</i>
<i>Escherichia</i>	<i>intermedia</i>
<i>Citrobacter</i>	<i>freundii</i>
<i>Enterobacter</i>	<i>cloacae, agglomerans</i>
<i>Erwinia</i>	<i>herbicola</i>

3

Inorganic Nutrition - Encyclopedia of Plant Physiology, New Series
 (Part) Vol 15A, A. LAUCHLI & R. L. BIRLESKI ed.
 II.1 Physiology, Biochemistry and Genetics of Dinitrogen Fixation Springer
 Verlag 1983 243

Table 1 (continued)

Genus or type	Species
4 Obligate anaerobes	
<i>Clostridium</i>	<i>pasteurianum, butyricum</i>
<i>Desulfotribrio</i>	<i>gigas, desulfuricans, vulgaris</i>
<i>Desulfotomaculum</i>	<i>ruminis</i>
5. Phototrophic bacteria	
a) Rhodospirillaceae	
<i>Rhodospirillum</i>	<i>rubrum, tenue, fulvum, molischianum, photometricum</i>
<i>Rhodospseudomonas</i>	<i>palustris, viridis, capsulata, spheroides</i>
b) Chromatiaceae	
<i>Chromatium</i>	<i>vinosum, gracile, minus, violaceum</i>
<i>Thiocystis</i>	<i>violacea</i>
<i>Thiocapsa</i>	<i>roseopersicina, pfennigii</i>
<i>Amoebobacter</i>	<i>ruseus</i>
<i>Ectothiorhodospira</i>	<i>spaposhnikovii</i>
c) Chlorobiaceae	
<i>Chlorobium</i>	<i>limicola, vibrioforme</i>
<i>Petrotolonia</i>	<i>luteolum</i>
6 Blue-green algae of cyanobacteria	
a) Unicellular, aerobically fixing strains	
<i>Gloethece</i>	<i>alpicola - 5 strains</i>
(formerly <i>Gloeo-capsa</i>)	
<i>Aphanothecae</i>	
b) Filamentous, heterocystous forms which fix aerobically and anaerobically	
<i>Nostoc</i>	<i>muscorum, commune</i>
<i>Anabaena</i>	<i>cylindrica, variabilis</i>
<i>Aphanizomenon</i>	<i>flos-aquae</i>
<i>Cylindrocapsa</i>	<i>Various strains</i>
<i>Cylindrotrix</i>	<i>Various strains</i>
c) Filamentous, non-heterocystous forms which fix microaerobically	
<i>Plectonema</i>	<i>boryanum</i>
<i>Oscillatoria</i>	<i>Various strains</i>
<i>Pseudanabaena</i>	<i>Various strains</i>
<i>Lyngbya</i>	<i>Various strains</i>
<i>Phormidium</i>	<i>Various strains</i>

B. Symbiotic nitrogen-fixing systems and associations

Host family	Host genus	N ₂ -fixing microorganism
a) <i>Rhizobium</i> symbioses		
Leguminosae	Most species	<i>Rhizobium</i> species
Ulmaceae	<i>Parasponia</i>	<i>Rhizobium</i>

Table 1 (continued)

Host family	Host genus	N ₂ -fixing microorganism
b) Non-Rhizobium symbioses		
Betulaceae	<i>Alnus</i>	
Myricaceae	<i>Myrica</i> , <i>Comptonia</i>	
Elcagnaceae	<i>Elcagnus</i> , <i>Hippophae</i>	
	<i>Shepherdia</i>	In all cases
Rhamnaceae	<i>Ceanothus</i> , <i>Trewia</i>	Actinomycetes
	<i>Discaria</i>	"Frankia"
Rosaceae	<i>Dryas</i> , <i>Cercocarpus</i>	
	<i>Purshia</i>	
Conariaceae	<i>Coriaria</i> , <i>Colleta</i>	
Casuarinaceae	<i>Casuarina</i>	
c) Lichens		
	<i>Collema</i> , <i>Peltigera</i>	<i>Nostoc</i>
	<i>Dendroscocaulon</i>	<i>Scytonema</i>
d) Liverworts		
	<i>Anthoceros</i> , <i>Blasia</i>	<i>Nostoc sphaericum</i>
	<i>Circularia</i>	
e) Waterfern		
	<i>Azolla</i>	<i>Anabaena azollae</i>
f) Cycads		
	<i>Cycas</i> , <i>Ceratozamia</i>	<i>Nostoc</i> , <i>Anabaena</i>
	<i>Encephalartos</i> , <i>Macrozamia</i> , <i>Dioon</i> etc.	
g) Higher plants		
Haloragaceae	<i>Gumera</i>	<i>Nostoc punctiforme</i>
h) Associative symbioses and casual associations		
Phyllosphere	Leaves	<i>Azotobacter</i> spp
Rhizosphere	Roots of grasses	
	<i>Paspalum notatum</i>	<i>Azotobacter paspali</i>
	<i>Zea mays</i>	<i>Azospirillum</i>

Compiled mainly from data by BURNS and HARDY 1975, SPRENT 1979, BENTLEY 1976, SUFFERT 1976, RUPPKA et al. 1979

Table 2. Cross-inoculation groups in the *Rhizobium* symbioses, in which mutual infections by the corresponding *Rhizobium* are possible

Group	<i>Rhizobium</i>	Plants which are regularly infected	Occasional infections
Fast growing			
Pea group	<i>R. leguminosarum</i>	<i>Pisum</i> , <i>Vicia</i> , <i>Lens</i> <i>Lathyrus</i> , <i>Cicer</i>	<i>Trifolium</i>
Clover group	<i>R. trifolii</i>	<i>Trifolium</i>	
Bean group	<i>R. phaseoli</i>	<i>Phaseolus</i>	
Medicago group	<i>R. meliloti</i>	<i>Medicago</i> , <i>Melilotus</i> , <i>Trigonella</i>	
Slow growing			
Soybean group	<i>R. japonicum</i>	<i>Glycine</i>	
Lupinus-Lotus group	<i>R. lupini</i>	<i>Lupinus</i> , <i>Ornithopus</i> , <i>Lotus</i> , <i>Anthyllis</i> , <i>Astragalus</i> , <i>Caragana</i> , <i>Ononis</i> , <i>Dorycnium</i>	
Cow-pea miscellany	<i>R. strains</i>	<i>Stylosanthes</i> , <i>Centrosema</i> , <i>Desmodium</i> , <i>Lotononis</i> , <i>Leucaena</i>	
specialized			
promiscuous	<i>R. strains</i>	<i>Vigna sinensis</i> , <i>Phaseolus lathyroides</i> , <i>Ph. atropurpurea</i> , <i>Arachis hypogaea</i> , <i>Parasponia</i>	Other <i>Phaseolus</i> species <i>Medicago</i> , <i>Glycine</i>

Fixation de N₂

(6)

type de fixation

N₂ fixé:
T x 10⁶ par an

Fixation biologique directe

Agriculture
Légumineuses

35-

non:

Riz

4

Arbres

5

plantes permanentes

45-

Forêts, bois

40-

Tenants incultes

10

Total des zones tenues

139

Océans, mers

36-

Total de la fixation biologique

175 =

Fixation non biologique

Atmosphère (orages)

10

Combustions

20

Industrie

engrais

autres activités

≈ 100
en 1983

(40) ^{charge constante}
3 x 10³ unités de
fixation = 159 t

Total de la fixation non biologique

80 = ou 130 -

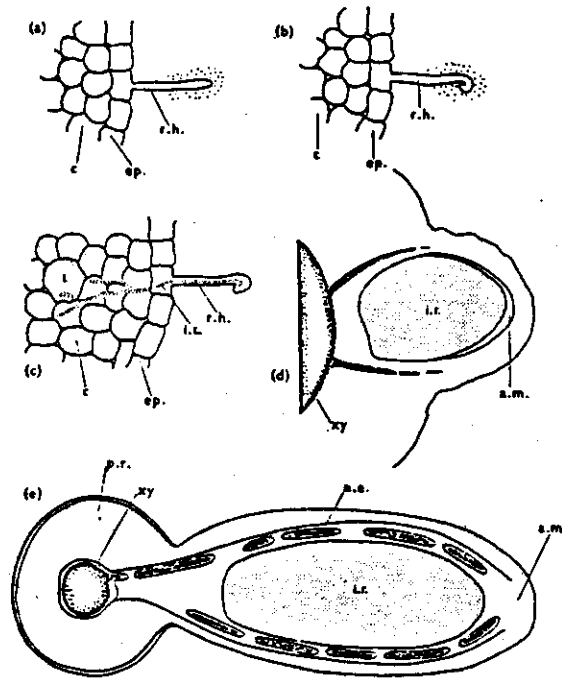
Total Général

255 ou 305

Les processus biologiques représentent 69% ^{ou 57%} de la fixation totale.

D'après SKINNER K J. Chemical and Engi.

Mining NEWS, 4 Oct. 1976, 22-35



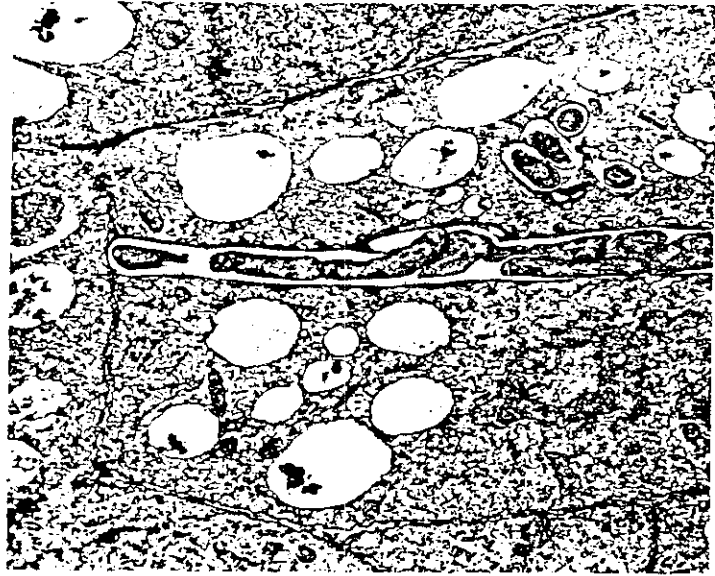
Initiation et structure des nodules de Pois.

- a - Rhizobium autour d'un poil absorbant
 - b - poil absorbant enroulé
 - c - infection
 - d - région centrale infectée
 - e - section longitudinale au travers du nodule
- am: méristème apical, c: cortex, ep: épiderme, i.r.: région infectée, it: fil d'infection, n.e.: endoderme du nodule, p.r.: racine primaire, r.h.: poil absorbant, t: cellule tétraploïde, xy: xylème.

BEEVERS L., Nitrogen metabolism in Plants. E. Arnold, éd., Londres, 1976.

Reproduction interdite, sauf autorisation de l'auteur et de l'éditeur.

(N5)



17
Filament d'infection d'une racine de Soja (x 10 000)
Le filament est enclos dans une paroi de cellulose
et une membrane.
BEEVERS L., Nitrogen metabolism in Plants. E. Arnold
éd., Londres, 1976.

Reproduction interdite, sauf autorisation de l'auteur et
de l'éditeur.



Libération des Bactéries à partir d'un filament d'in-
fection (x 8 000) à partir d'un "ballon" cellulosi-
que (Bu) continué par un "ballon" sans cellulose (CB).
Les Bactéries sont absorbées par les cellules, par
endocytose (Bi: bactérie dans une vacuole, HN: noyau
de l'hôte, CE: paroi cellulosique du filament).
BEEVERS L., Nitrogen metabolism in Plants. E. Arnold
éd., Londres, 1976.

Reproduction interdite, sauf autorisation de l'auteur
et de l'éditeur.

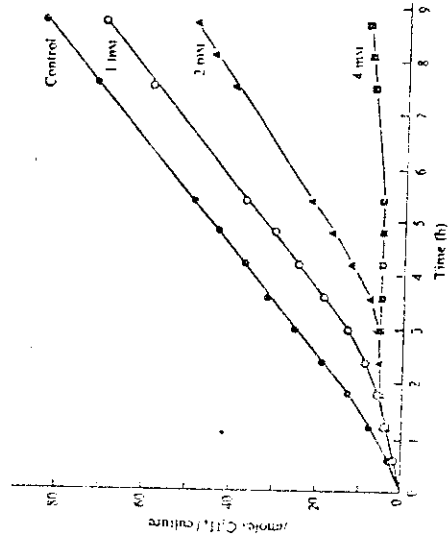


Fig. 1.3. Effect of different amounts of ammonium acetate (final concentrations 1, 2 and 4 mM) on the nitrogenase activity of a growing culture of *A. chromatococcum* (Bristolsgoro, 1973).

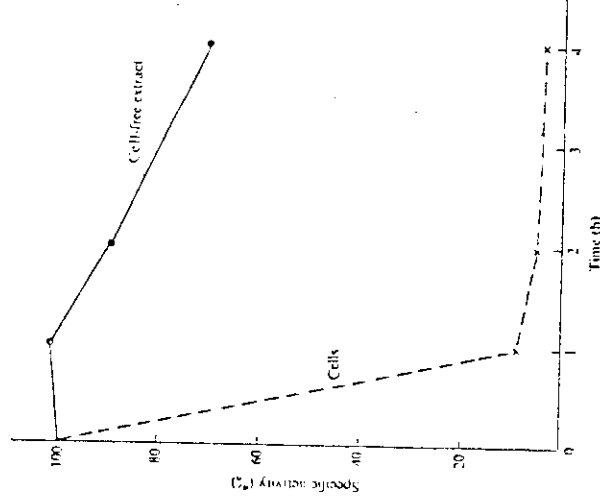


Fig. 1.4. Nitrogenase activity of living cells of *A. chromatococcum*, measured at different intervals after the addition of ammonium acetate (final concentration 3 mM) to the culture, as compared to the activity of cell-free extracts prepared from the same culture at the same time (Bristolsgoro, 1974).

STEWART W.D.P. éd., Nitrogen fixation by free-living micro-organisms. IBP Cambridge University Press, 1975
Reproduction interdite, sauf autorisation de l'auteur et de l'éditeur.

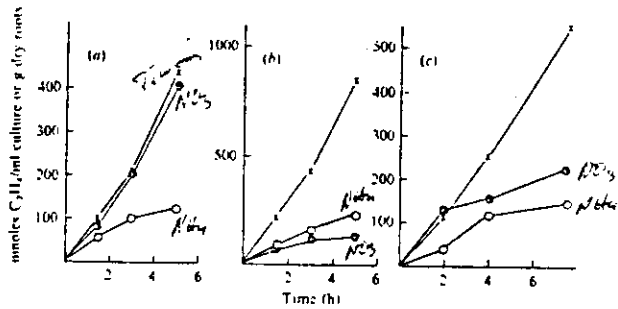


Fig. 3.6. Effects of ammonia and nitrate on nitrogenase activity of *A. paspali* in pure culture (a), on roots of *P. notatum* removed from soil (b) and intact systems with *P. notatum* (c). For pure culture assays, 1 ml of shallow layer patch culture (56.5×10^7 cells/ml) was injected into 60 ml bottles containing 1 ml of 20 mM NH_4^+ or NO_3^- in medium at the time of acetylene injection (time zero). To root samples, 5 ml of 10 mM NH_4^+ or NO_3^- in 0.025 M phosphate buffer (pH 6.8) and acetylene were applied at time zero. Intact soil-plant cores received 11.2 ppm N (soil basis) in solution at time zero. All nitrogen sources were (NH_4) SO_4 or KNO_3 . All points are means of four replicates. O, NH_4^+ ; \bullet , NO_3^- ; x, control.

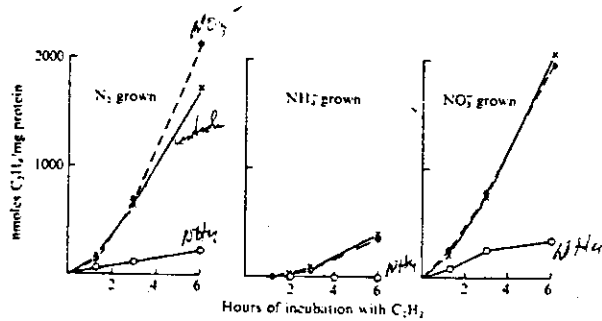


Fig. 3.7. Effects of ammonia and nitrate on nitrogenase activity of *A. paspali* grown in pure culture on N_2 , ammonia or nitrate. One ml of washed cell suspensions, obtained from shake cultures grown with 10 mM (NH_4) SO_4 or KNO_3 , or on N_2 (1.32, 0.44, 0.51 mg protein/ml resp.), was injected into 60 ml bottles with air, containing 1 ml of 20 mM NH_4^+ or NO_3^- in medium, at time zero. All points are means of three replicates. O, NH_4^+ ; \bullet , NO_3^- ; x, control.

STEWART W.D.P. éd. Nitrogen fixation by free-living micro-organisms. IBP Cambridge University Press, 1975.

Reproduction interdite, sauf autorisation de l'auteur et de l'éditeur.

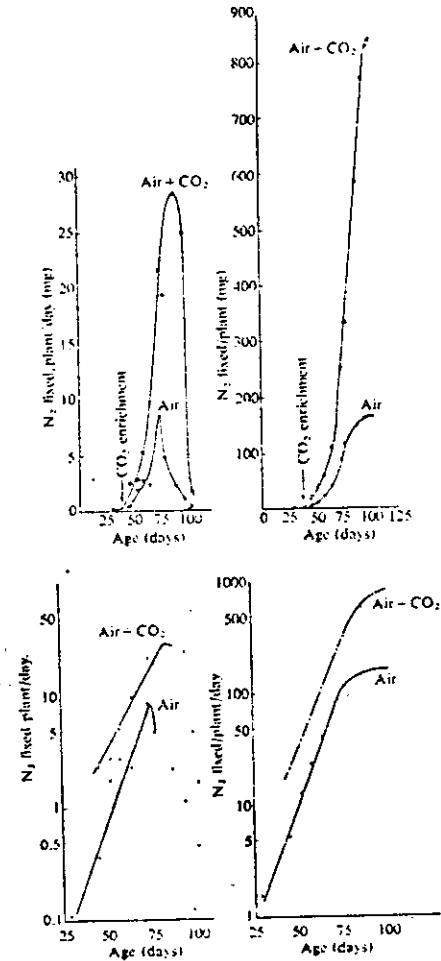


Fig. 31.7. Profiles as in Fig. 31.1 of nitrogen fixation by control and carbon dioxide enriched soybeans.

NUTMAN P.S. - Symbiotic nitrogen fixation in plants. IBP, Cambridge University Press, 1976.

Reproduction interdite, sauf autorisation de l'auteur et de l'éditeur.

TABLEAU I

Influence de la concentration en NO_3^- du milieu de culture sur les quantités de matière sèche, les teneurs en chlorophylle et en azote protidique de l'ensemble des feuilles de Soja non pourvu de nodosités (-) ou pourvu de nodosités à *Rhizobium japonicum* (+).

Effect of nitrate concentration in the nutrient solution on dry weight, chlorophyll content, organic N content of the shoots of soybean not inoculated (-) or inoculated (+) with *Rhizobium japonicum*.

Plantes de 51 j. Moyennes de 6 plantes. Comparaison des moyennes au risque 5% des plantes inoculées et non inoculées : ts, différence très significative; s, différence significative; ns, différence non significative.

	Nodosités	NO_3^- dans le milieu de culture ($\text{m}\text{éq. l}^{-1}$)			
		0	0,5	1,5	2,5
Matière sèche (mg MS. plante ⁻¹)	-	310	728	1003	1052
	+	520	763	992	1163
Chlorophylle (mg. g ⁻¹ MS)	-	2,7	7,4	8,4	7,6
	+	8,8	10,1	9,2	9,8
N protidique (mg. g ⁻¹ MS)	-	16,3	30,7	35,8	37,0
	+	33,1	37,2	35,2	36,2
N protidique (mg. plante ⁻¹)	-	5,1	22,3	35,9	38,9
	+	17,2	28,4	34,9	42,2

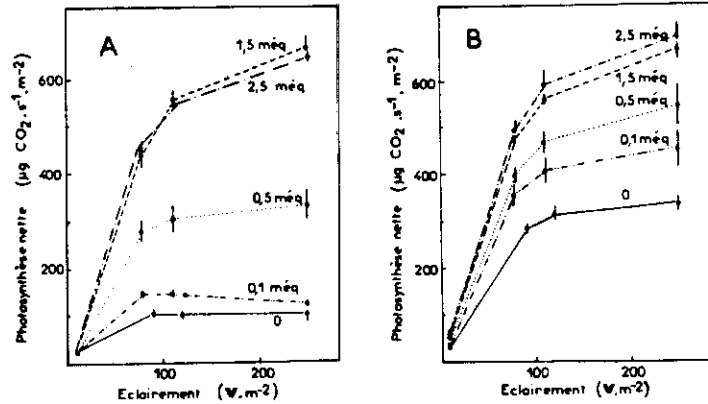


FIG. 3. - Influence de la concentration en NO_3^- du milieu de culture sur la variation de la photosynthèse nette par unité de surface foliaire du Soja en fonction de l'éclairement. A, plantes sans nodosités. B, plantes pourvues de nodosités.

Effect of nitrate concentration in the nutrient solution on net photosynthesis per unit leaf area of soybean versus light intensity. A, not inoculated. B, inoculated.

Plantes de 33 j. Moyennes de 3 plantes (\pm écart-type). 0, absence de NO_3^- .

TAB. I

Influence de la concentration en NO_3^- du milieu de culture sur la masse de matière fraîche et sur les capacités nitrate réductase *in vitro* et nitrogénase des nodosités.

Effect of nitrate concentration in the nutrient solution on fresh weight *in vitro* nitrate reductase and nitrogenase activities of the nodules.

Plantes de 51 j.

	NO_3^- ($\text{m}\text{éq. l}^{-1}$)						
	0	0,5	1	1,5	2	2,5	5
Matière fraîche (mg M.F. plante ⁻¹)	1310	630	400	280	150	200	100
Nitrate réductase ($\mu\text{éq. h}^{-1} \cdot \text{g}^{-1}$ MF)	-	1,53	1,67	1,46	1,16	-	0,66
Nitrogénase ($\text{nmol. h}^{-1} \cdot \text{g}^{-1}$ MF)	10,0	15,5	-	11,2	-	5,0	4,0

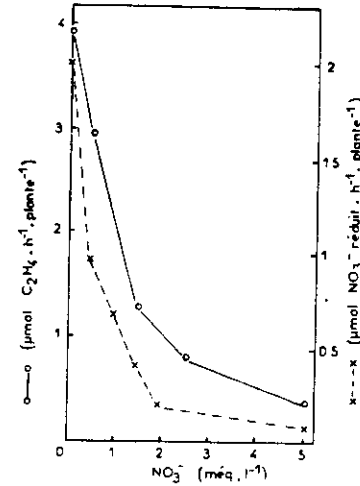


FIG. 7. - Influence de la concentration en NO_3^- du milieu de culture sur les capacités nitrate réductase (---) et nitrogénase (—) des nodosités de Soja.

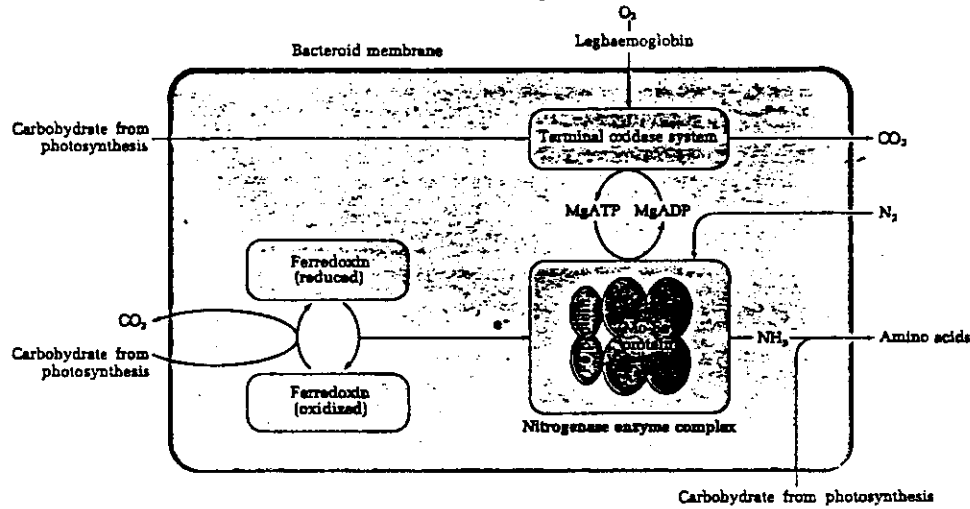
Effect of nitrate concentration in the nutrient solution on *in vitro* nitrate reductase (---) and nitrogenase (—) of the nodules of soybean inoculated.

Plantes de 51 j.

JATIMLIANSKY J.R., CHAMPIGNY M.L., PRIOT J.L., BISNATH E.
et MOYSE A. - *Phytophysiologie*, 1982, 20, 407-422.

JATIMLIANSKY J.R., CHAMPIGNY M.L., PRIOT J.L., BISNATH E.
et MOYSE A. - *Phytophysiologie*, 1982, 20, 407-422.

These are the major elements of the nitrogenase reaction



Two protein components—the Fe protein and the Mo-Fe protein—comprise the nitrogenase enzyme complex. The Fe protein is composed of two identical subunits. The Mo-Fe protein contains four subunits. Electrons flow from a reducing agent such as a reduced ferredoxin into the Fe protein, then into the Mo-Fe protein, and finally onto the substrate, usually nitrogen. MgATP, which binds to the Fe protein, becomes hydrolyzed as the substrate is reduced. The precise time at which MgATP

binds and dissociates and the exact role it plays in the reduction process have not been fully elucidated. The leghaemoglobin provides for the diffusion of oxygen in such a way that ATP is produced most efficiently, but the oxygen-sensitive nitrogenase is not destroyed. In symbiotic relationships, the photosynthetic products of the plant serve as not only a carbon skeleton for the synthesis of molecules containing fixed nitrogen, but as an energy source for the production of reductant and ATP

Chemical and Engineering NEWS, 4 Oct. 1976

Reproduction interdite, sauf autorisation de l'auteur et de l'éditeur.

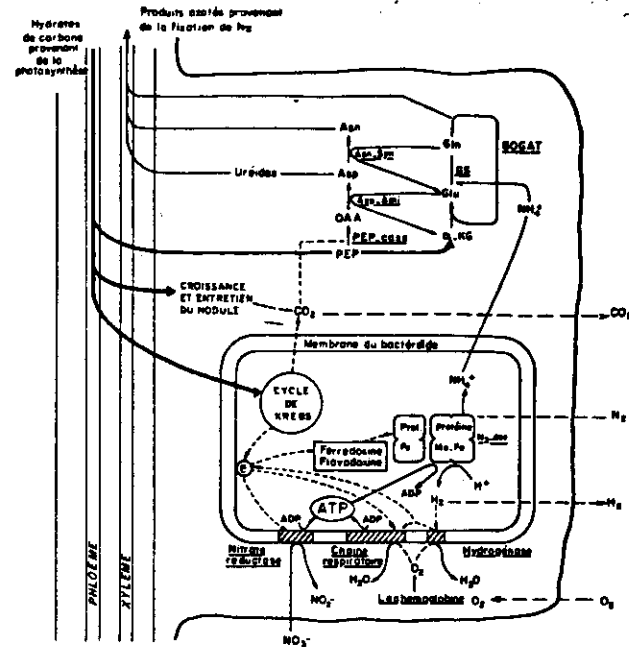
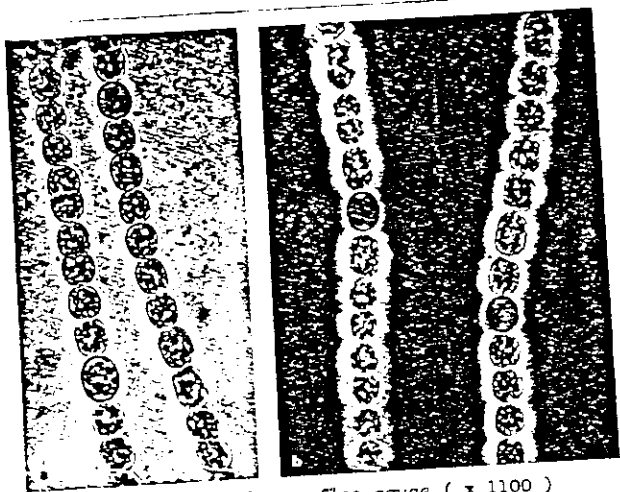


FIG. 5. — Schéma représentant le fonctionnement d'une nodosité (d'après SCOTT *et al.*, 1976; EVANS *et al.*, 1977; CHRISTELLER *et al.*, 1977; ATKINS *et al.*, 1978; SHANMUGAM *et al.*, 1978)

— Schematic diagram of a working nodule

Gln : glutamine; Glu : glutamate; α -KG : α -cétylglutarate; PEP : phosphoenolpyruvate; OAA : oxaloacétate; Asp : aspartate; Asn : asparagine; PEP-case : phosphoenolpyruvate carboxylase; GS : glutamine synthétase; GOGAT : glutamate synthase; Asp-syn : asparagine synthétase; Asp-ami : aspartate-aminotransférase; N_2 -ase : nitrogénase.

In : *La symbiose Rhizobium Légumineuses: rôles respectifs des partenaires* : J. DENARIE et G. TRUCNET. *Physiologie végétale*, 1979, 17 (3), 643-667.



Micrographies d'*Anabaena flos-aquae* (x 1100)

FOGG G.E. et al., The Blue-green Algae. Academic Press, Londres et New-York, 1973

Reproduction interdite, sauf autorisation de l'auteur et de l'éditeur.

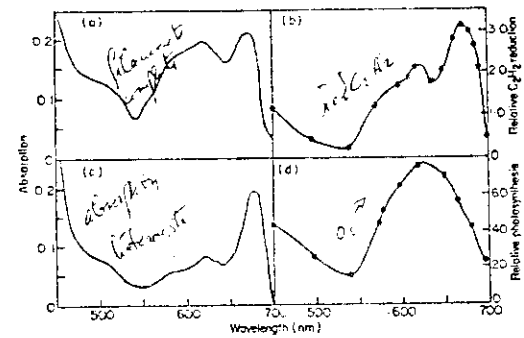


FIG. 10.7. Absorption spectra of (a) intact filaments and (c) isolated heterocysts of *Anabaena cylindrica*. (b) C_2H_2 reduction and (d) net oxygen evolution at different wavelengths by *Anabaena cylindrica*. After Fay (1970) *Biochim. biophys. Acta.* 216, 353-356.

FOGG G.E. et al., The Blue-green Algae. Academic Press, Londres et New-York, 1973

Reproduction interdite, sauf autorisation de l'auteur et de l'éditeur.

Table V. Estimated Costs of Nitrogen Fixation in Soybeans and Corn

	Soybeans	Corn
Total dry matter (kg·ha ⁻¹ ·yr ⁻¹ ×10 ⁻³) ^a	3.7	7.0
Total plant N (kg·ha ⁻¹ ·yr ⁻¹) ^b	110	40
Total plant C (kg·ha ⁻¹ ·yr ⁻¹ × 10 ⁻³) ^c	1.5	2.8
Seed dry weight (kg·ha ⁻¹ ·yr ⁻¹ ×10 ⁻³)	1.5	2.8
Seed protein (% by weight) ^d	38	10
Seed N (kg·ha ⁻¹ ·yr ⁻¹) ^d	36	18
Estimated total photosynthesis (KgC·ha ⁻¹ ·yr ⁻¹ ×10 ⁻³) ^e	5	5
Estimated Costs N ₂ fixation		
Carbon cost (kgC·ha ⁻¹ ·yr ⁻¹) ^f	660	240
% total photosynthesis	12	5
"Predicted" yield decrease (bu·acre ⁻¹) ^g	6.6	5.5
Dollar equivalent ^h	43	14

^aCalculated from average seed yields for world production of corn and soybeans from FAO Handbook.

^bCalculated from experimental measurements of protein or N content.

^cAssumes plant C = 40% plant dry weight.

^dValues taken or calculated from values given in (91).

^eEstimated from values for dry matter and estimated respiratory losses.

^fAssume value of 6 kg C used per kg N fixed.

^gAssume % of photosynthate used to support N₂ fixation leads directly to reduction in yield by same %.

^hBased on current prices for soybeans and corn and "predicted" yield decrease.

The Energetics of Biological Nitrogen fixation.

Workshop Summaries I .

American Society of Plant Physiologists, 1982.